

О РАЗВИТИИ ШИРОКИХ АТМОСФЕРНЫХ ЛИВНЕЙ ПО ДАННЫМ  
ИЗМЕРЕНИЙ ЧЕРЕНКОВСКОГО СВЕТА НА РАЗЛИЧНЫХ ВЫСОТАХ  
В АТМОСФЕРЕ.

И. П. Иваненко \*), А. Н. Квашнин, В. В. Макаров \*),  
В. И. Рубцов, Л. А. Хейн \*)

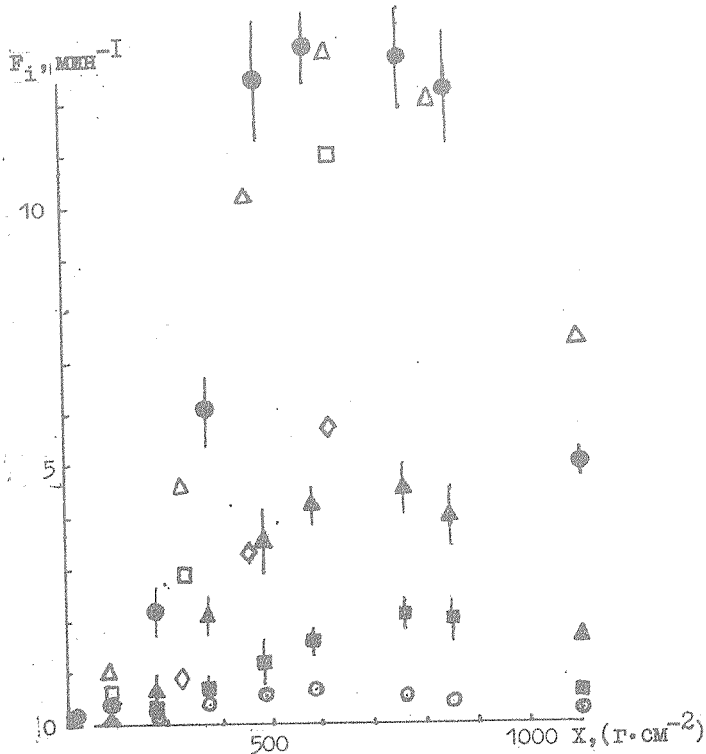
УДК 537.591

Приводятся результаты измерений спектра амплитуд импульсов черенковского света ШАЛ в атмосфере до высот  $\approx 17$  км. Регистрировался черенковский свет с пороговыми плотностями от 3 до 96 фот/ $\text{см}^2$  (энергии первичных космических лучей  $E_0 > 5 \cdot 10^{13}$  эВ). Проводится сравнение экспериментальных данных с расчетными.

Осенью 1979 года было проведено два подъема в стратосферу прибора для регистрации черенковского света, сопровождающего ШАЛ. Эксперимент был нацелен на изучение начальной стадии развития ШАЛ. Прибор состоял из трех параболических зеркал с диаметром 600 мм и фокусным расстоянием 240 мм. Оптические оси зеркал были направлены параллельно друг другу и наклонены под углом  $30^\circ$  к вертикали. В оптическом фокусе каждого зеркала устанавливался фотокатод фотоумножителя ФЭУ-49. Импульсы анодных токов ФЭУ после усилителей со временем формирования  $\tau = 1,5 \cdot 10^{-7}$  с подавались на входы амплитудных дискриминаторов. Для каждого фотоумножителя имелось семь дискриминаторов с пороговыми значениями, которые соответствовали падению на зеркало черенковского света с плотностями  $\rho_1 = 1,5$  фот/ $\text{см}^2$ ,  $\rho_2 = 3$ ;  $\rho_3 = 6$ ,  $\rho_4 = 12$ ,  $\rho_5 = 24$ ,  $\rho_6 = 48$  и  $\rho_7 = 96$  фот/ $\text{см}^2$  в интервале длин волн от  $\lambda \approx 3000$  Å до  $\lambda \approx 8000$  Å. Эти значения

\*) НИИЯФ МГУ.

были определены с помощью вспышек черенковского света, вызываемых прохождением  $\mu$ -мезонов космических лучей через пластину оргстекла, приставленную к фотокатодам ФЭУ. Импульсы от дисриминаторов с одинаковыми порогами подавались на схему тройных совпадений с  $\tau \approx 2 \cdot 10^{-7}$  с. Регистрировался темп счета тройных совпадений  $F_1$  — событий, в которых на каждое зеркало падал поток фотонов с плотностью  $\geq p_1$ . Значения  $p_1 = 1,5$  фот/ $\text{см}^2$  выбрано так, чтобы в  $F_1$  заметный вклад давали фоновые импульсы



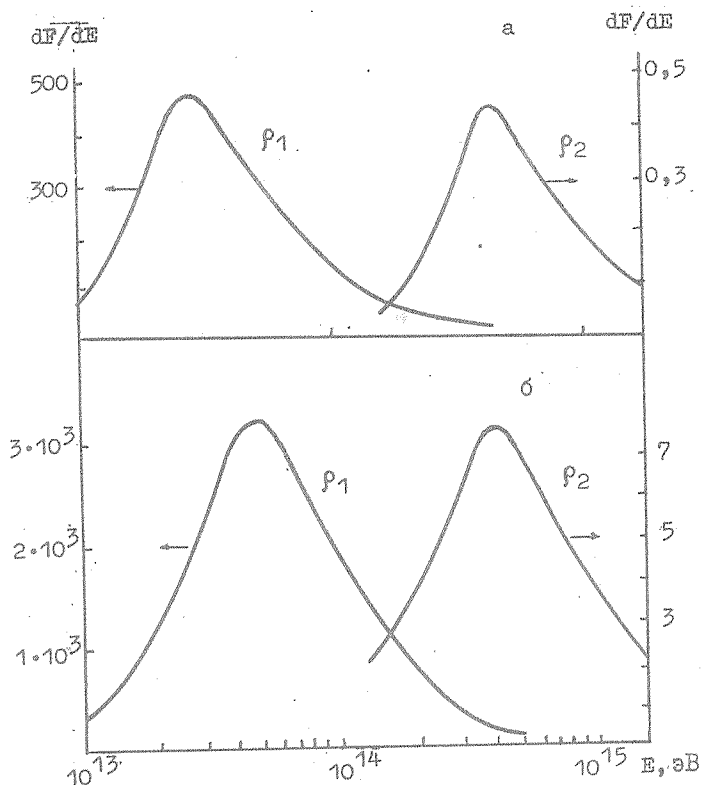
от счета ночного неба. В полетах величина  $F_1$  менялась слабо, что указывало на стабильность работы прибора. В обоих полетах значения  $F_1$  в пределах статистической точности совпадают на одинаковых высотах и на подъеме и на спуске. Вклад фона ночного неба в  $F_2 - F_1$  мал, так как эти значения на высотах  $\approx 17$  км практически равны нулю. Полученные в полетах результаты представлены на рис. I, где приведены экспериментальные значения темпа счета событий  $F_1$  с плотностями черенковского света  $\geq \rho_1$  на разных глубинах в атмосфере.

Проведены расчеты пространственного распределения черенковского света ШАЛ от первичных протонов с энергией  $10^{13}$ ,  $10^{15}$ ,  $10^{17}$  эВ для различных уровней наблюдения в атмосфере для двух моделей, предполагающих следующие зависимости сечения ядерного взаимодействия и множественности от энергии: 1)  $\sigma = \sigma_0(1 + \alpha \ln E)$ ,  $n_g \propto E^\beta$ , и 2)  $\sigma = \text{const}$ ,  $n_g \propto \ln E$ . Расчеты проведены для  $\alpha = 0,05$ ,  $\alpha = 0,03$  и  $\beta = 0,5 / 1$ .

На рис. I кроме экспериментальных значений темпа счета  $F_1$  приведены также и рассчитанные значения. В расчетах использовался первичный спектр из [2]. Надо заметить, что использованную в расчетах величину телесного угла прибора  $\Omega = 0,035$  ср. необходимо уточнить экспериментально. Для  $\rho \geq 3$  фот/см<sup>2</sup> эксперимент довольно близок к расчету при  $\alpha = 0,05$  и  $\beta = 0,5$ . Для больших пороговых плотностей экспериментальные величины  $F_1$  несколько больше расчетных — экспериментальный спектр плотностей более жесткий, чем расчетный. Это указывает на более сильное, чем предсказывают модели, изменение характера акта ядерного взаимодействия с увеличением энергии.

На рис. 2 приведены рассчитанные распределения  $dF/dE$  — темпа счета прибора-событий с данной пороговой плотностью, вызванных ШАЛ с заданной энергией  $E$ . Распределения получены для модели с  $\alpha = 0,05$ ,  $\beta = 0,5$  на высотах  $H_1 = 13$  км,  $H_2 = 3,6$  км и для двух пороговых плотностей:  $\rho = 2$  фот/см<sup>2</sup> и  $\rho = 20$  фот/см<sup>2</sup>. По таким распределениям можно оценить область энергий первичных космических лучей, которые вносят эффективный вклад в темп счета прибора при данной пороговой плотности.

Проведенные расчеты показали также, что функция пространственного распределения фотонов черенковского света ШАЛ слабо зависит от энергии первичного протона, образующего ШАЛ. В этом



Р и с. 2. Вклад ШАЛ с данной энергией в темп счета прибора для  $\rho_1 = 2 \text{ фот}/\text{см}^2$  и  $\rho_2 = 20 \text{ фот}/\text{см}^2$  на высотах а) 3,6 км, б) 13 км

случае простые вычисления приводят к следующему выражению для спектра плотностей черенковского света ШАЛ

$$\frac{dF}{dp} = \frac{\Delta k(\gamma-1)/n}{n} \rho^{-(\gamma-1+n)/n} \int_0^\infty f(r)(\gamma-1)/n 2\pi r dr$$

или

$$F_{>p} \sim \rho^{-(\gamma-1)/n} = \rho^{-(\alpha-1)}, \quad (I)$$

где  $dJ/dE = AE^{-\gamma}$  — спектр первичного космического излучения,  $Q = kE^\alpha$  — связь полного потока черенковского света ШАЛ с первичной энергией,  $f(r)$  — функция пространственного распределения черенковского света. В выражение (I) входит единственный параметр  $n$ . В области максимума развития лавин и на больших глубинах в атмосфере  $n \approx 1$  при различных моделях ядерного взаимодействия. На малых глубинах величина параметра  $n$  должна иметь сильную зависимость от характеристик ядерного взаимодействия.

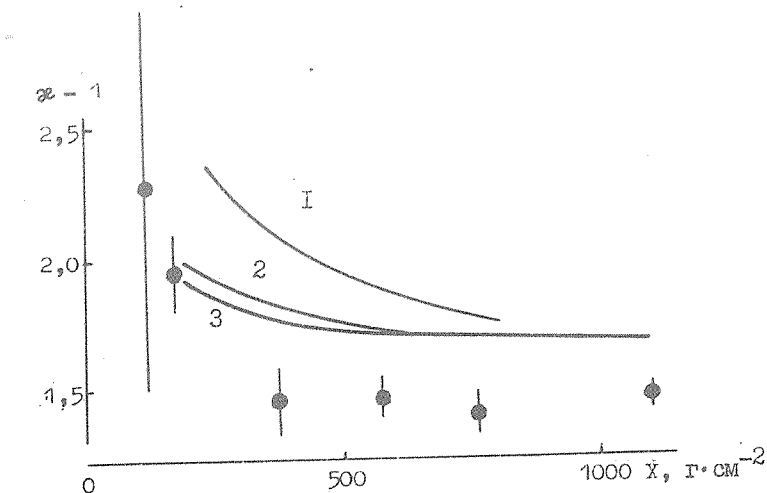


Рис. 3. Высотная зависимость показателя степени спектра плотностей черенковского света ШАЛ.  $\bullet$  — эксперимент; расчет: 1 —  $\alpha = 0,05$ ,  $\beta = 0,5$ ; 2 —  $\alpha = 0,03$ ,  $\beta = 0,5$ ; 3 —  $\sigma = \text{const}$ ,  $n \propto \ln E$

На рис. 3 приведены экспериментальные и рассчитанные значения показателя степенного спектра плотностей черенковского света ШАЛ  $\alpha - 1$ . Как и следует ожидать из (I), расчетные значения  $\alpha - 1$  на больших глубинах стремятся к  $\gamma - 1 \approx 1,7$ , т.е. к показателю степенного энергетического спектра первичных космических лучей. Так как, согласно экспериментальным данным,  $\alpha - 1 \approx 1,7$  уже на глубине  $x = 260 \text{ г}/\text{см}^2$ , можно сделать заключение

#34

о том, что ШАЛ развиваются быстрее, чем предсказывают модели, заложенные в расчет. Более того, так как экспериментальная величина  $\omega - 1$  стремится к 1,5 с увеличением глубины, величина  $n$  становится несколько больше, чем 1. Это говорит о том, что с увеличением энергии первичных частиц увеличивается доля энергии, переходящая в черенковское излучение.

В заключение следует отметить, что в проведенных расчетах не учитывались флуктуации в развитии ШАЛ и ядерный состав первичных космических лучей. В дальнейшем планируется проведение расчетов с учетом указанных факторов и дополнительных полетов для увеличения статистики.

Поступила в редакцию  
17 апреля 1981 г.

#### Л и т е р а т у р а

1. И. П. Иваненко, Б. Л. Каневский, Т. М. Роганова, ЯФ, 29, 694 (1979).
2. С. И. Никольский, Изв. АН СССР, сер. физ., 39, III60 (1975).